

Выбор параметров и режимов работы МОП-транзисторов при схемотехническом моделировании аналоговых ИР-компонентов

Часть 2. Методика начального схемотехнического моделирования

Олег Дворников, Виталий Гришков (г. Минск, Беларусь)

В предлагаемой статье сформулирована последовательность этапов схемотехнического моделирования, обеспечивающая оптимальный выбор параметров и режимов работы МОП-транзисторов в аналоговых ИР-компонентах. Рассмотрены особенности описания и моделирования МОП-схем в редакторе Capture системы проектирования OrCAD.

МЕТОДИКА НАЧАЛЬНОГО СХЕМОТЕХНИЧЕСКОГО МОДЕЛИРОВАНИЯ АНАЛОГОВЫХ МОП-СХЕМ

Для ускорения схемотехнического проектирования и параметрической оптимизации аналоговых схем на МОП-транзисторах целесообразно применять результаты моделирования, показывающие связь основных характеристик аналоговых схем с параметрами и режимом работы транзисторов. Для получения таких данных сформирована последовательность этапов схемотехнического моделирования.

1. Для сравнения характеристик МОП-транзисторов с разным типом проводимости рекомендуется применять схему включения, аналогичную приведённой на рисунке 3 для редактора Capture системы проектирования OrCAD. Особенности этой схемы обусловлены возможностями редактора Capture, а именно: в редакторе автоматически соединяются узлы с одним и тем же псевдонимом (Vdn, Vgn, Vbn и др.), созданным с помощью коман-

ды Place Net Alias; элементы E1 – E3 представляют собой источники напряжения, управляемые напряжением, с коэффициентом передачи, заданным параметром GAIN; в качестве источника напряжения V_{GSN} применён элемент VPULSE, позволяющий задавать как постоянное напряжение (DC=), так и переменное напряжение (AC=) для выполнения анализа в частотной области; напряжение источника V_{BSN} установлено с помощью глобального параметра (для этого в редакторе Capture использовано обозначение {Value} в качестве величины напряжения источника V_{BSN}), что позволяет одновременно проводить любой из видов анализа (DC-анализ, AC-анализ, TRAN-анализ) при нескольких значениях параметра Value [14].

Применение источников E1 – E3 с коэффициентом передачи, равным -1 (GAIN = -1), для задания режима работы р-канальных МОП-транзисторов позволяет одновременно отобразить на экране графического постпроцессора (PROBE или Pspice

simulator and Probe waveform viewer) системы проектирования OrCAD) характеристики п- и р-канальных МОП-транзисторов в одинаковых режимах работы.

2. По касательным к кривым $\sqrt{I_D} = f(V_{GS})$ [15], полученным при различном напряжении V_{SB} диодного включения МОП-транзистора, необходимо определить пороговое напряжение V_{TH} для типовых значений V_{SB} , обычно равных 0, $V_{DD}/2$, V_{DD} , где V_{DD} – величина напряжения питания схемы. Наиболее простым способом выполнения данного этапа схемотехнического моделирования является:
 - изменение псевдонима Vdn на Vgn, Vdp на Vgp на выводах транзисторов M1n, M1p, что эквивалентно соединению между собой стока и затвора и, следовательно, диодному включению МОП-транзисторов;
 - проведение анализа по постоянному току (DC-анализа) при линейном изменении величины источника напряжения V_{GSN} от 0 до 1 или 2 В и нескольких значениях параметра Value, например, Value = 0, 1, 2;
 - построение с помощью PROBE графической зависимости $\sqrt{I_D} = f(V_{GS})$ (в соответствии с правилами PROBE для вычисления квадратного корня из тока стока транзистора M1n необходимо на оси Y отобразить переменную SQRT(ID(M1n));
 - определение координат двух точек ($\sqrt{I_{D1}}, V_{GS1}$) и ($\sqrt{I_{D2}}, V_{GS2}$) на линейном участке кривой (см. рис. 4), которому обычно соответствует ток стока в диапазоне от 1 до 10 мА;
 - расчёт порогового напряжения [15]:

$$V_{TH} = \frac{V_{GS1} \sqrt{I_{D2}} - V_{GS2} \sqrt{I_{D1}}}{\sqrt{I_{D2}} - \sqrt{I_{D1}}} . \quad (43)$$

Результаты моделирования (см. рис. 4 и 5) здесь и далее получены для BSIM3-моделей транзисторов, формируемых с помощью технологического маршрута изготовления КМОП-

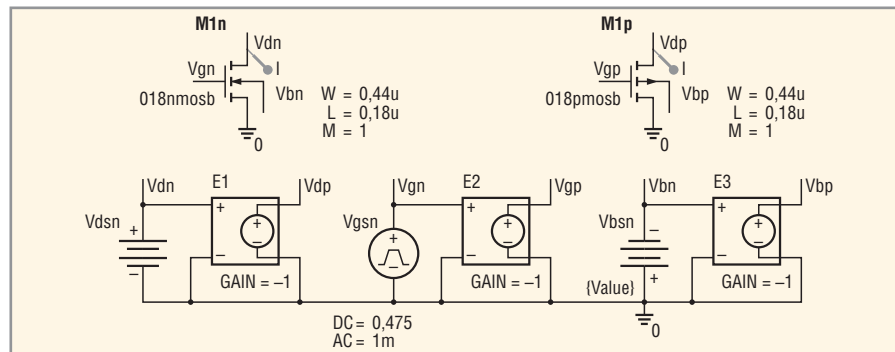


Рис. 3. Схема включения КМОП-транзисторов для сравнительного моделирования ВАХ в редакторе Capture системы проектирования OrCAD

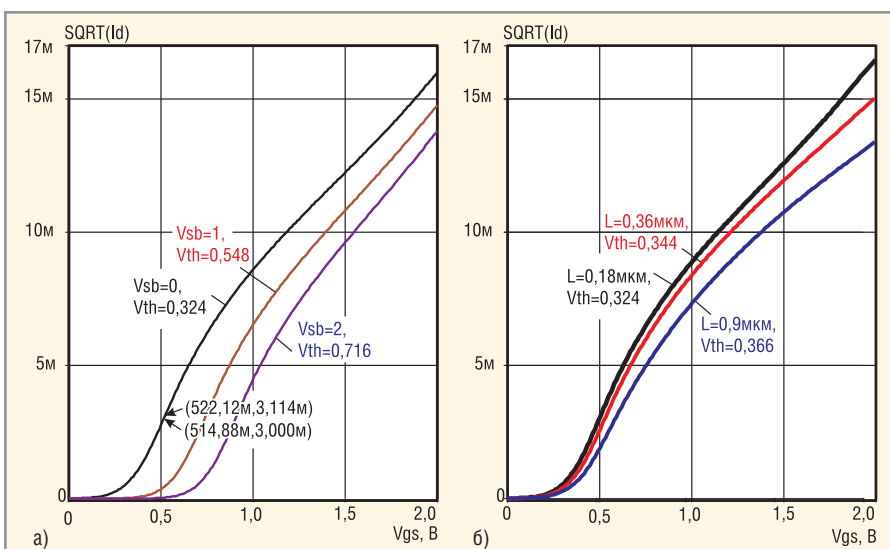


Рис. 4. Зависимость квадратного корня из тока стока $\text{SQRT}(I_D)$ от напряжения затвор-исток V_{GS} n-канального МОП-транзистора с шириной затвора $W = 2 \mu\text{мм}$ в диодном включении

- а) при длине затвора $L = 0,18 \mu\text{мм}$ и различном напряжении исток-подложка V_{SB} ;
б) при $V_{SB} = 0$ и различной длине затвора L

микросхем с минимальной проектной нормой $0,18 \mu\text{мм}$ [5]. Стрелки на рисунках указывают точки кривых, для которых зарегистрированы координаты.

На основании рисунков 4 и 5 можно сделать вывод о том, что при определении порогового напряжения V_{th} с помощью соотношения (43) следует обращать особое внимание на правильный выбор линейного участка зависимости $\sqrt{I_D} = f(V_{GS})$, поскольку при малых V_{GS} на вид ВАХ влияет режим слабой инверсии, а при больших – насыщение скорости носителей заряда и сопротивления полупроводниковых областей стока и истока.

Численные значения V_{th} для различных длин затвора и напряжений V_{SB} целесообразно использовать при аналитических («ручных») расчётах и выборе необходимого режима работы МОП-каскадов при моделировании.

3. Оценим максимальный ток стока, при котором МОП-транзисторы работают в подпороговой области с большим отношением g_m/I_D , для чего по зависимости $I_D = f(V_{GS})$ (см. рис. 5) определим параметр $I_{DOW} = I_D$ при $V_{GS} = V_{th}$.

Как видно из рисунка 5, величина I_{DOW} приблизительно одинакова для кривых с различным напряжением V_{SB} , что соответствует (10) и подтверждает корректность методик идентификации V_{th} , I_{DOW} . При необходимости I_{DOW} можно повысить путём увеличения W/L .

Известно, что для нахождения производной от переменной y по переменной x , т.е. dy/dx , в графическом пост-

процессоре PROBE необходимо на горизонтальной оси отобразить переменную x , а на вертикальной оси – $-D(y)$ [14]. Таким образом, для расчёта отношения g_m/I_D рекомендуется выполнить DC-анализ МОП-транзистора в схеме с общим истоком (см. рис. 3), вывести на ось x переменную V_{VGSn} , а на ось y – $-D(ID(M1n))/ID(M1n)$. Результаты моделирования с упрощёнными обозначениями переменных на осях приведены на рисунке 6. Максимальное значение g_m/I_D приблизительно равно 32 и уменьшается до 2 в режиме сильной инверсии.

4. Для обеспечения воспроизведимого режима работы в режиме сильной инверсии при предварительных расчётах и моделировании следует выбирать напряжение на затворе из условия $V_{GS} \geq 1,3V_{th}$, для которого выполнено моделирование выходной ВАХ в схеме с общим истоком (см. рис. 7).

По виду графиков на рисунке 7 можно сделать вывод о том, что напряжение сток-исток МОП-транзистора с минимальной длиной затвора $L = 0,18 \mu\text{мм}$ не должно превышать 1,5 В, а для обеспечения работы в области насыщения ВАХ достаточно выполнение условия длинноканальных транзисторов, а именно $V_{DS} > V_{GS} - V_{th}$. К сожалению, на величину малосигнального выходного сопротивления (см. рис. 8) короткоканальных транзисторов оказывает влияние ряд эффектов [9], обуславливающих сильную зависимость выходного сопротивления от напряжения сток-исток.

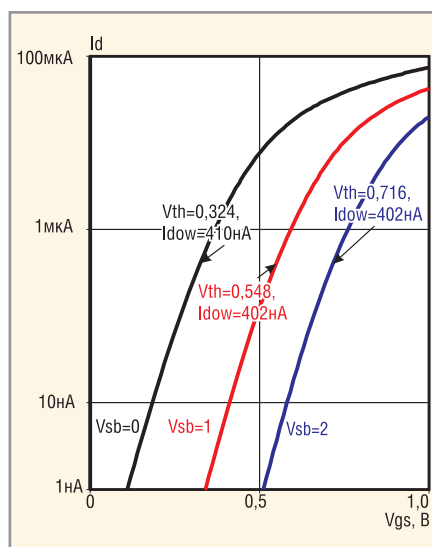


Рис. 5. Зависимость тока стока I_D от напряжения затвор-исток V_{GS} n-канального МОП-транзистора с $W/L = 2 \mu\text{мм}/0,18 \mu\text{мм}$ в диодном включении при различном напряжении исток-подложка V_{SB}

Приведённая на рисунке 8 зависимость получена в PROBE с помощью дифференцирования результатов, показанных на рисунке 7а, а именно путём отображения на оси x переменной V_{VGSn} , а на оси y – $-1/D(ID(M1n))$.
5. Для расчёта максимального коэффициента усиления K_{MAX} по соотношению (34) рекомендуется выполнить моделирование зависимостей $I_D = f(V_{GS})$ двух одинаковых МОП-транзисторов с разным напряжением сток-исток, например, по схеме, приведённой на рисунке 9. Напряжение сток-исток транзистора M1n на рисунке 9 задаёт источник V_{DSN} , величина которого равна глобальному параметру $ampl$. Напряжение сток-исток

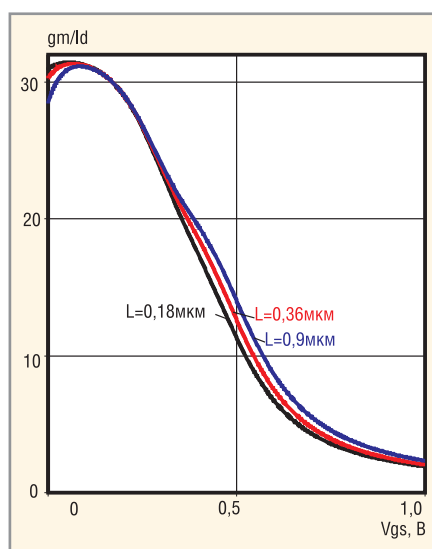


Рис. 6. Зависимость отношения g_m/I_D от напряжения затвор-исток V_{GS} n-канального МОП-транзистора с шириной затвора $W = 2 \mu\text{мм}$ при $V_{SB} = 0$, $V_{DS} = 1$ В и различной длине затвора

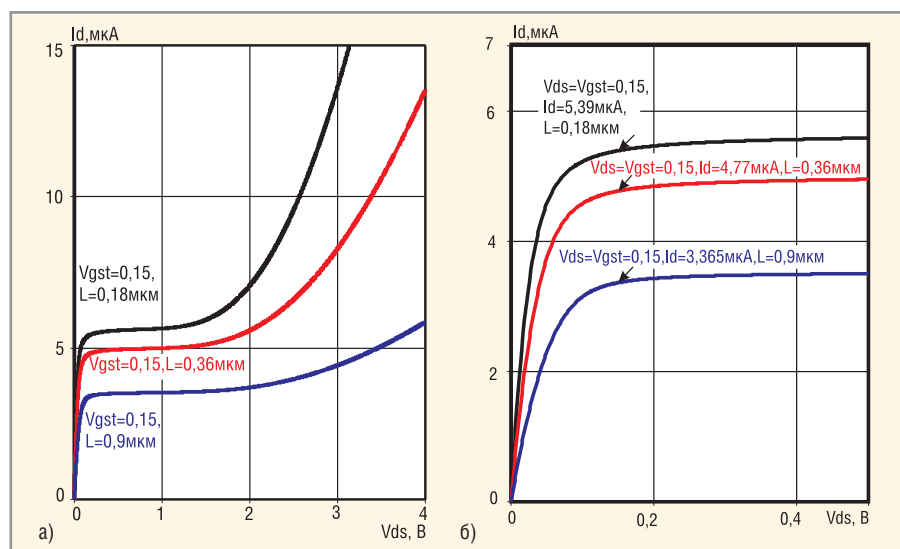


Рис. 7. Зависимость тока стока I_d от напряжения сток-исток V_{dS} п-канального МОП-транзистора с шириной затвора $W = 2 \mu\text{мм}$ при $V_{BS} = 0$, различной длине затвора и одинаковом превышении порогового напряжения $V_{GST} \equiv V_{GS} - V_{TH} = 0,15 \text{ В}$

M2n устанавливает источник напряжения V_{DSN1} на уровне $ampl + 10 \text{ мВ}$.

При одинаковом напряжении V_{GS} и малом приращении напряжения V_{DS} ток стока транзисторов в области насыщения BAX будет отличаться из-за влияния выходного малосигнального сопротивления, при этом справедливы соотношения

$$I_{DM2N} = I_{DM1N} + \frac{V_{DSM2N} - V_{DSM1N}}{r_{out}}$$

при $V_{GSM1N} = V_{GSM2N}$, (44)

$$|K_{MAX}| \approx \frac{dI_{DM1N}}{dV_{GS}} \frac{V_{DSM2N} - V_{DSM1N}}{I_{DM2N} - I_{DM1N}}. (45)$$

Предложенная методика определения K_{MAX} реализована в графическом постпроцессоре с помощью отображения на оси x переменной V_{Vgsn} , а на оси y – $D(ID(M1n)) * 10 \text{ m} / (ID(M2n) - ID(M1n))$. Результаты моделирования с упрощенными обозначениями переменных на осях показаны на рисунках 10 и 11. Рост V_{DS} от 0,15 до 1 В приводит к увеличению K_{MAX} (см. рис. 10) при любом

V_{GS} для $L = 0.18 \mu\text{m}$, что может быть объяснено увеличением выходного сопротивления r_{OUT} в диапазоне напряжений V_{DS} (см. рис. 8). В тоже время зависимость $K_{MAX} = f(V_{GS})$ при изменении параметров L, V_{DS} в широком диапазоне значений имеет более сложный характер (см. рис. 11).

Несмотря на то что при $V_{DS} = 1 \text{ В}$ в каскаде с общим истоком имеет высокое усиление, такой режим не следует применять вследствие малого допустимого диапазона изменения напряжения (на основании рисунков 7 и 8 можно утверждать, что при $V_{DS} > 1,5 \text{ В}$ K_{MAX} значительно снижается). Таким образом, для прецизионных микросхем рекомендуется выбирать длинноканальные транзисторы, а минимальную величину $V_{GS} - V_{TH}$ и напряжение V_{DS} устанавливать ориентировочно в середине допустимого диапазона (для рассматриваемых транзисторов $V_{DS} \approx 0,7 \text{ В}$).

6. При проектировании быстродействующих микросхем рекомендуется определить условия ($L, V_{GS} - V_{TH}$), при которых проявляются короткоканаль-

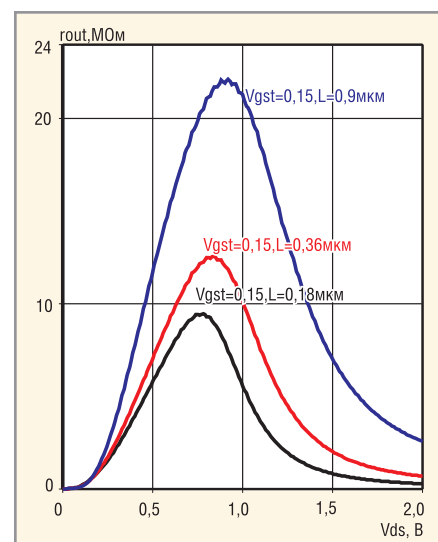


Рис. 8. Зависимость выходного малосигнального сопротивления r_{out} от напряжения сток-исток V_{dS} п-канального МОП-транзистора с шириной затвора $W = 2 \mu\text{мм}$ при $V_{BS} = 0$, различной длине затвора и одинаковом превышении порогового напряжения $V_{GST} \equiv V_{GS} - V_{TH} = 0,15 \text{ В}$

ные эффекты, а именно, граничная частота не зависит или слабо зависит от $V_{GS} - V_{TH}$. Для этого следует выполнить анализ в частотной области (AC-анализ) с одновременным изменением величины постоянного напряжения источника V_{GSN} , например, установив постоянную составляющую источника с помощью глобального параметра $DC = \{ampl\}$ и изменения при параметрическом анализе величину параметра $ampl$ от 0,3 В до 1 В с шагом 0,05 В. Затем на ось Y графического постпроцессора следует вывести отношение

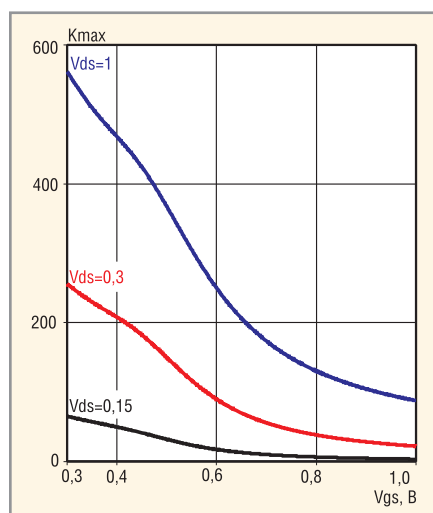


Рис. 10. Зависимость максимального коэффициента усиления в схеме с общим истоком K_{MAX} от напряжения затвор-исток V_{GS} для п-канальных МОП-транзисторов с отношением $W/L = 2 \mu\text{мм}/0,18 \mu\text{мм}$ при $V_{BS} = 0$ и различном V_{DS}

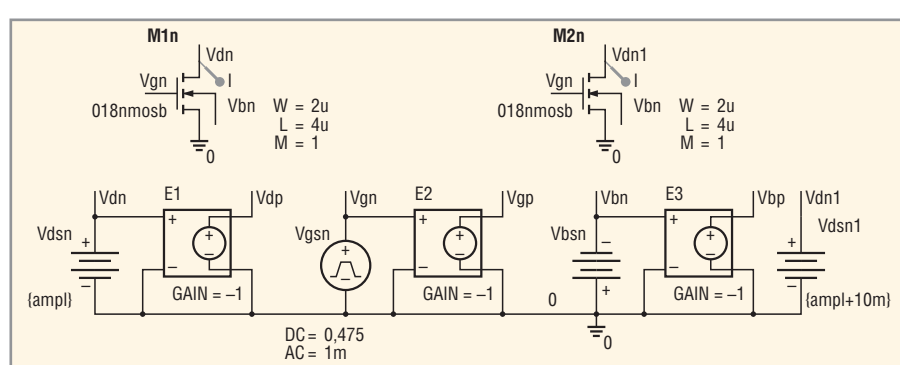
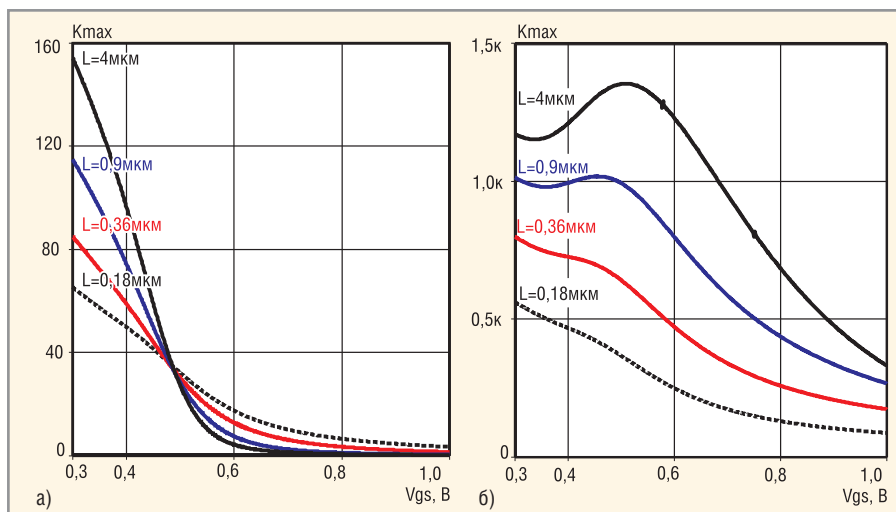


Рис. 9. Схема включения МОП-транзисторов для расчёта K_{MAX}



**Рис. 11. Зависимость максимального коэффициента усиления в схеме с общим истоком K_{\max} от напряжения затвор-исток V_{GS} для п-канальных МОП-транзисторов с шириной затвора $W = 2 \text{ мкм}$ при $V_{BS} = 0$ и различной длине затвора
а) $V_{DS} = 0,15 \text{ В}$, б) $V_{DS} = 1 \text{ В}$**

тока стока к току затвора и определить частоту, на которой это отношение равно единице (см. рис. 12).

Результаты моделирования граничной частоты показаны на рисунке 13. В п-канальных МОП-транзисторах с длиной затвора от 0,18 до 0,9 мкм слабое изменение граничной частоты (см. рис. 13а) на-

ступает при $V_{GS} > 0,6 \text{ В}$ и V_{DS} во всём допустимом диапазоне от 0,15 до 1 В. При $L = 4 \text{ мкм}$ и $V_{DS} = 1 \text{ В}$ участков слабого изменения или постоянной величины f_T не выявлено (рисунок 13б), следовательно, поведение в таких условиях идентично длинноканальному МОП-транзистору. Незначительное изменение f_T при $L = 4 \text{ мкм}$

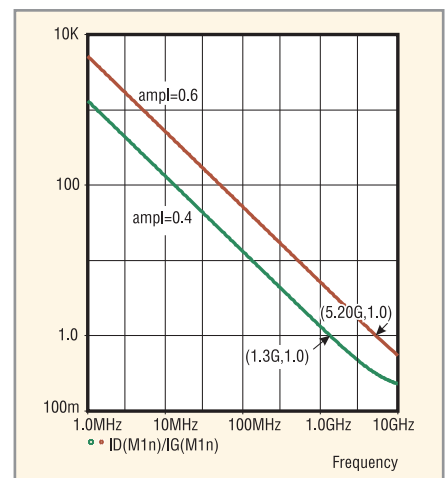


Рис. 12. Результаты АС-анализа для определения f_T в графическом постпроцессоре PROBE при разной величине постоянного напряжения затвора, задаваемой параметром $ampl$

и $V_{DS} = 0,15 \text{ В}$, скорее всего, объясняется работой транзистора в линейной области ВАХ.

Граничная частота прямо пропорциональна крутизне, поэтому требуемое сочетание L и $V_{GS} - V_{TH}$ целесообразно выбирать на начальном участке слабого изменения зависимости $g_M = f(V_{GS}, L)$ (см. рис. 14),

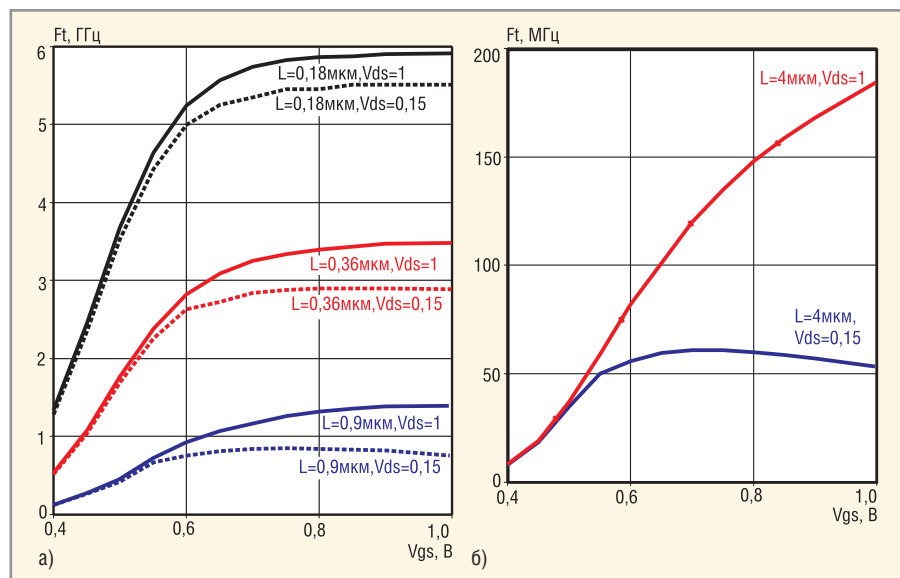


Рис. 13. Зависимость граничной частоты усиления f_T от напряжения затвор-исток V_{GS} для п-канального МОП-транзистора с шириной затвора $W = 2$ мкм при $V_{BS} = 0$, различной длине затвора и напряжения V_{DS}

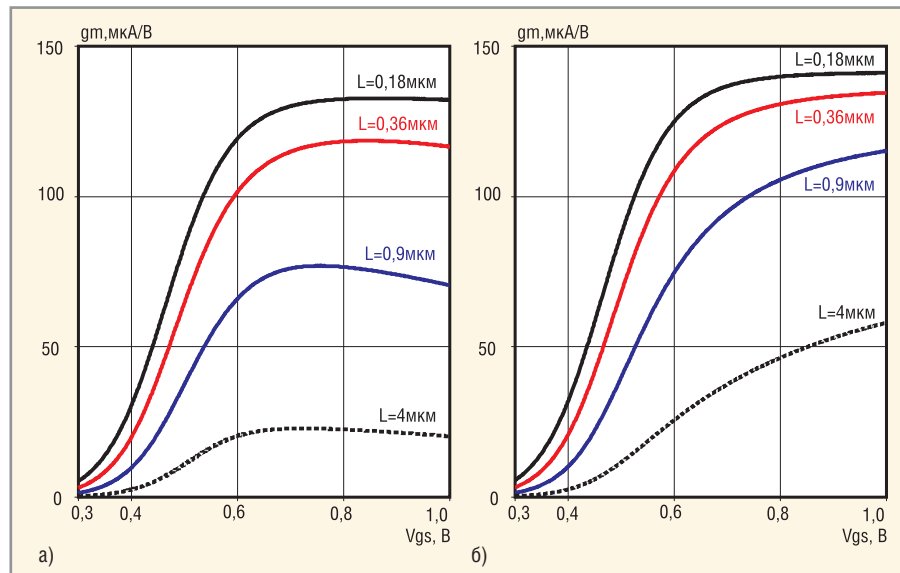


Рис. 14. Зависимость крутизны g_m от напряжения затвор-исток V_{GS} п-канального МОП-транзистора с шириной затвора $W = 2$ мкм при $V_{BS} = 0$ и различной длине затвора

а) $V_{DS} = 0,15$ В, б) $V_{DS} = 1$ В

которую получить при моделировании значительно проще, чем $f_T = f(V_{GS}, L)$.

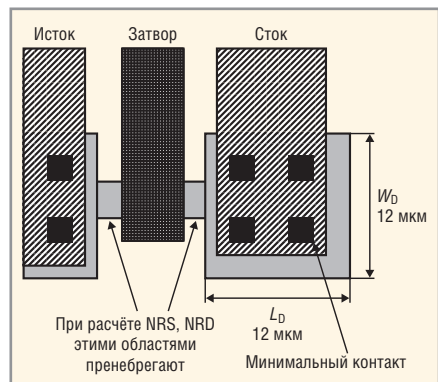


Рис. 15. Упрощённый чертёж топологии МОП-транзистора для расчёта параметров NRS, NRD

области с размерностью Ом/квадрат. Определение параметров AS, AD, PS, PD по топологии транзистора не вызывает затруднений. Параметры NRS, NRD приблизительно рассчитывают делением длины полупроводниковой области в направлении протекания тока на её ширину. Так, для МОП-транзистора, приведённого на рисунке 15, $NRD = L_D/W_D = 1$, $NRS = L_S/W_S = 0,5$.

Для более точного определения NRS, NRD необходимо учитывать изменение направления протекания тока в области контакта металла с истоком и стоком. При этом для одного типового минимального контакта к полупроводниковой области коэффициент формы составит приблизительно 0,3 [16]. В этом случае параметры NRS, NRD целесообразно рассчитывать как последовательное и параллельное соединение минимальных контактов, и для рисунка 15 справедливо $NRS = 0,3/2 = 0,15$ и $NRD = 0,3 \times 2/2 = 0,3$.

К сожалению, приведённая методика не учитывает сопротивление контакта металл-полупроводник. Для уменьшения погрешности идентификации сопротивлений RS, RD рекомендуется разработать тестовую структуру, содержащую большое количество (обычно 100) последовательно соединённых металлом минимальных контактов к полупроводниковой области, при измерениях этой структуры определить сопротивление одного контакта, а параметры RS, RD рассчитывать как последовательное и параллельное соединение минимальных контактов с экспериментально установленным значением сопротивления.

Иногда при моделировании МОП-схем возникают проблемы со сходимостью расчётов и нахождением производных в графическом постпроцессоре PROBE. Некоторые из проблем можно устранить путём уменьшения относительной (RELTOL) и абсолютной (ABSTOL, VNTOL) погрешностей моделирования, увеличения приращения (Increment) в DC-анализе (см. рис. 16 и 17), замене нулевых напряжений источников на малые конечные величины (например, замене DC = 0 на DC = 10^{-6}).

При выполнении анализа схем в частотной области (AC-анализа) в большинстве Spice-подобных программ вначале рассчитывается рабочий режим по постоянному току, а затем элементы схем заменяются малосигналь-

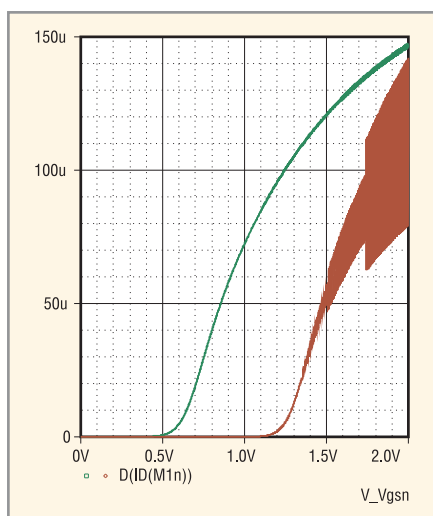


Рис. 16. Результаты расчёта крутизны по соотношению $g_M = dI_D/dV_{GS}$, полученные с помощью PROBE по результатам DC-анализа при $\text{Increment} = 10^{-3}$, $\text{RELTOL} = 10^{-3}$

ными эквивалентными схемами, параметры которых определены в зависимости от режима по постоянному току без учёта влияния на них переменного сигнала. В связи с этим, для уменьшения погрешности моделирования при AC-анализе рекомендуется устанавливать переменный сигнал минимально возможной величины.

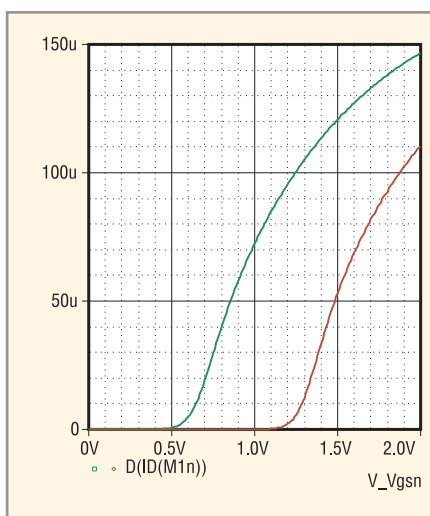


Рис. 17. Результаты расчёта крутизны по соотношению $g_M = dI_D/dV_{GS}$, полученные с помощью PROBE по результатам DC-анализа при $\text{Increment} = 10^{-2}$, $\text{RELTOL} = 10^{-4}$

ЗАКЛЮЧЕНИЕ

Рассмотрена комбинированная модель МОП-транзистора, адаптированная для выполнения упрощённых аналитических расчётов. На основе модели получены математические соотношения, описывающие влияние конструктивно-технологических параметров на граничную частоту, максимальный ко-

эффициент усиления в схеме с общим истоком, отношение крутизны к току стока для длинно- и короткоканальных МОП-транзисторов.

Предложена методика начального этапа схемотехнического моделирования аналоговых МОП-схем, которая апробирована на транзисторах с минимальной длиной затвора, равной 0,18 мкм.

Полученные математические соотношения и результаты моделирования, показывающие связь основных характеристик аналоговых схем с параметрами и режимом работы МОП-транзисторов, целесообразно использовать для ускорения схемотехнического моделирования и параметрической оптимизации.

ЛИТЕРАТУРА

14. Разевиг В.Д. Система проектирования OrCAD 9.2. Солон-Р, 2003.
15. Дворников О. Методы идентификации параметров моделей интегральных транзисторов. Часть 4. Идентификация параметров модели Шихмана–Ходжеса полевого транзистора с р–п-переходом. Современная электроника. 2009. № 8.
16. Березин А.С. Технология и конструирование интегральных микросхем: Учебное пособие для вузов. Радио и связь, 1983.

